

## РАЗНОЕ

518.12:539.3

### ПРИМЕНЕНИЕ МКЭ ПРИ ИССЛЕДОВАНИИ СКОЛЬЗЯЩЕГО КОНТАКТА ЦИЛИНДРА С УПРУГОЙ ПОЛУПЛОСКОСТЬЮ

*Канд.техн.наук, доц. А.Е. Мартынова*

*Рассматривается применение МКЭ при исследовании скользящего контакта цилиндра с упругой полуплоскостью с целью изучения точности метода. Процедура решения задачи реализована МКЭ для плоского треугольного элемента при упругом поведении материала. Рассмотрено влияние размеров расчетной схемы, числа узлов и сгущения узлов сетки конечных элементов.*

Метод конечных элементов (МКЭ) в настоящее время является самым популярным численным методом для прочностных и других видов расчетов как наиболее удобный для реализации на ЭВМ, благодаря четкой формализации отдельных этапов решения задачи и матричной форме расчета [1]. Использование МКЭ для исследования скользящего контакта цилиндра с упругой полуплоскостью в условиях плоской задачи (плоской деформации) рассмотрено ниже. Ось цилиндра параллельна оси  $z$  выбранной системы координат. Таким образом, скольжение цилиндра осуществляется перпендикулярно его оси. Зададим соотношение между касательными усилиями и нормальными давлениями при скользящем контакте. Предполагается, что для каждой элементарной площадки области контакта применим закон трения скольжения Амонтона, согласно

которому  $\frac{q(x,z)}{p(x,z)} = \frac{|Q|}{P} = v$ , где  $v$  – постоянный коэффициент трения скольжения, зна-

чение которого определяется свойствами материалов и физическими условиями на поверхности контакта.

Если цилиндр и полуплоскость, по которой он скользит, имеют одинаковые упругие свойства, ширина зоны контакта и распределение нормальных давлений определя-

ется теорией Герца  $p(x) = \frac{2P}{\pi a^2} (a^2 - x^2)^{1/2}$ , где  $a$  – полуширина площадки контакта,

$P$  – нормальная сила на единицу длины оси  $z$ , вдавливающая цилиндр в полуплоскость. Тогда, принимая закон трения Амонтона, для касательных усилий имеем

$q(x) = \pm \frac{2\sqrt{P}}{\pi a^2} (a^2 - x^2)^{1/2}$ , где  $\nu$  – постоянный коэффициент трения скольжения, знак «минус» соответствует положительному направлению скорости  $V$  (рис. 1).

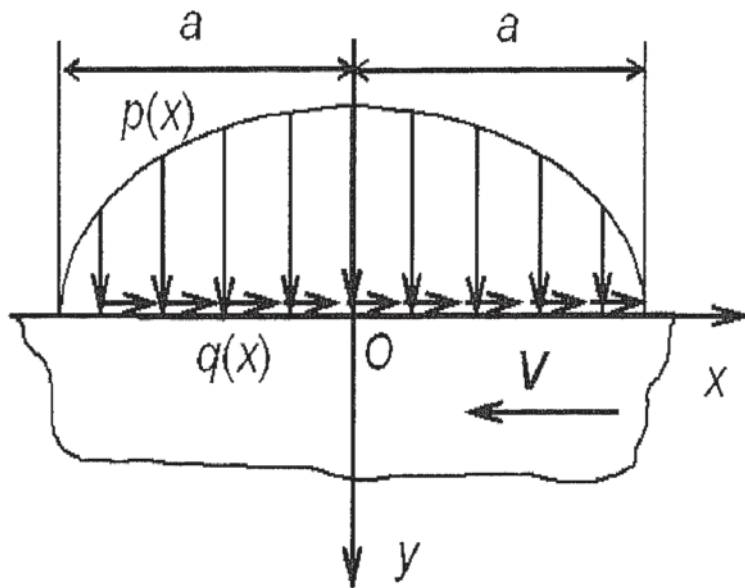


Рис. 1. Упругая полуплоскость, нагруженная усилиями  $p(x)$  и  $q(x)$

Напряжения в произвольной точке  $(x, y)$  через величины  $m$  и  $n$ , введенные согласно определениям [2], будут

$$m^2 = 1/2 \left\{ \left[ (a^2 - x^2 + y^2)^2 + 4x^2y^2 \right]^{1/2} + (a^2 - x^2 + y^2) \right\},$$

$$n^2 = 1/2 \left\{ \left[ (a^2 - x^2 + y^2)^2 + 4x^2y^2 \right]^{1/2} - (a^2 - x^2 + y^2) \right\},$$

где знаки величин  $m$  и  $n$  совпадают со знаками  $y$  и  $x$  соответственно. Тогда выражения для напряжений принимают вид:

$$\begin{aligned} \sigma_x &= -\frac{p_0}{a} \left[ m \left( 1 + \frac{y^2 + n^2}{m^2 + n^2} \right) - 2y \right] + \frac{q_0}{a} \left[ n \left( 2 - \frac{y^2 - m^2}{m^2 + n^2} \right) - 2x \right], \\ \sigma_y &= -\frac{p_0}{a} m \left( 1 - \frac{y^2 + n^2}{m^2 + n^2} \right) + \left[ -\frac{q_0}{a} n \frac{m^2 - y^2}{m^2 + n^2} \right] \\ \tau_{xy} &= -\frac{p_0}{a} n \frac{m^2 - y^2}{m^2 + n^2} + \left[ -\frac{q_0}{a} m \left( 1 + \frac{y^2 + n^2}{m^2 + n^2} \right) \right]. \end{aligned} \quad (1)$$

где  $p_0$  – максимальное нормальное давление,  $q_0 = v \cdot p_0$  – касательное усилие в точке  $x = 0$ .

Состояние текучести большинства пластичных материалов обычно описывается критерием энергии сдвиговой деформации Мизеса [2]. В качестве критерия наступления пластической деформации для металлов принят критерий энергии сдвиговой деформации Мизеса  $\tau_{\max} = k = \sigma_T / \sqrt{3}$ , где  $\sigma_T$  – предел текучести металлов,  $\tau_{\max}$  – максимальное касательное напряжение.

Главные напряжения плоского напряженного состояния рассчитываются по формулам  $\sigma_{1,2} = \frac{\sigma_x + \sigma_y}{2} \pm \frac{1}{2} \sqrt{(\sigma_x - \sigma_y)^2 + 4\tau_{xy}^2}$ , максимальных (экстремальных) касательных напряжений –  $\tau_{\max} = (\sigma_1 - \sigma_2)/2$ .

МКЭ реализован в пакете Mathcad для плоского треугольного элемента при упругом поведении материала. Треугольный элемент завоевал популярность благодаря простоте задания постоянного значения деформации внутри элемента, а также ввиду удобства описания геометрических характеристик сложных конструкций [3]. Был выбран вариант сетки конечных элементов, фрагмент которой представлен на рис. 2, *a*, как реализующий качественно лучшее соответствие теоретическому распределению напряжений.

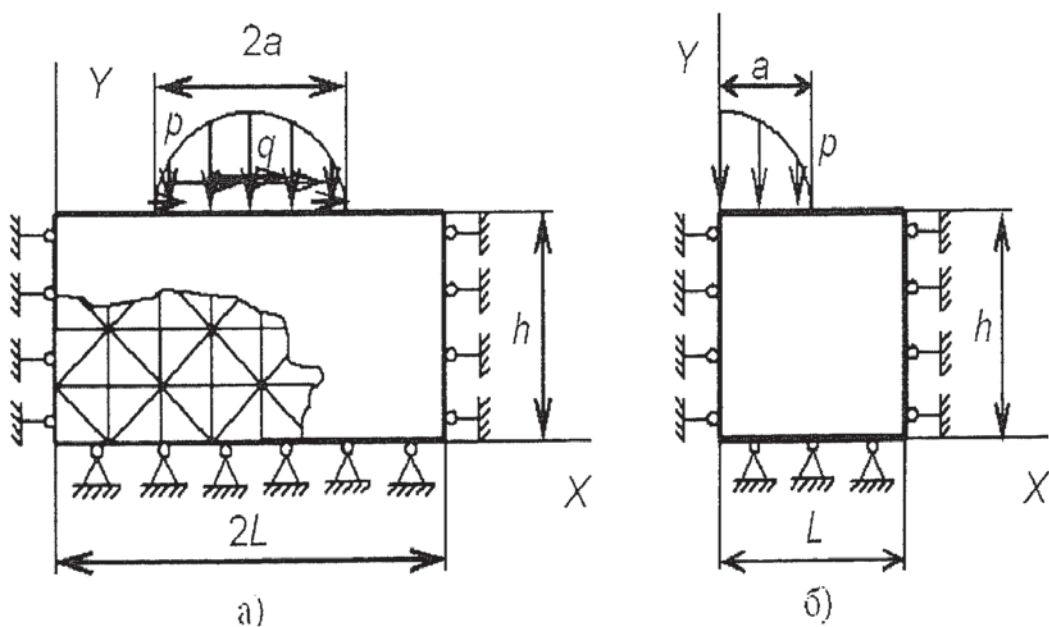


Рис. 2. Расчетная схема задачи:

*а*- скользящий контакт цилиндра (действуют нормальные давления и касательные усилия); *б*- нормальный контакт цилиндра (действуют только нормальные давления)

Упругая полуплоскость расчетной схемы задачи смоделирована прямоугольной пластиной размерами  $2L$  и  $h$ , находящейся в условиях плоской деформации (рис. 2, а). Нижняя граница пластины имеет условия закрепления  $u_x, u_y = 0$  (запрещены перемещения вдоль осей  $X$  и  $Y$ ). На боковых сторонах пластины реализованы условия закрепления  $u_x = 0$  (запрещены перемещения вдоль оси  $X$ ). Пластина нагружена распределенными

нормальными давлениями  $p(x) = \frac{2P}{\pi a^2} (a^2 - x^2)^{1/2}$  и касательными усилиями

$q(x) = -\frac{2\nu P}{\pi a^2} (a^2 - x^2)^{1/2}$ , действующими на  $(-a \leq x \leq a)$ , где  $a = 1,5 \cdot 10^{-4}$  м,  $P = 1 \cdot 10^4$

Н/м. Модуль упругости материала пластины  $E = 2 \cdot 10^{11}$  Па, коэффициент Пуассона  $\nu = 0,3$ . Соотношения длин сторон и сами длины сторон пластины изменились. Коэффициент трения скольжения  $\nu$  принимался равным: 0,1; 0,2; 0,3; 0,4; 0,5.

Для случая контакта цилиндра с упругой полуплоскостью в условиях плоской задачи расчетная схема представлена на рис 2, б). Пластина нагружена распределенными нормальными давлениями  $p(x) = \frac{2P}{\pi a^2} (a^2 - x^2)^{1/2}$ , действующими на  $(-a \leq x \leq a)$ , где  $a = 1,5 \cdot 10^{-4}$  м,  $P = 1 \cdot 10^4$  Н/м. По условиям симметрии смоделирована только половина пластины, в плоскости симметрии вводятся соответствующие закрепления  $u_x = 0$  (запрещены перемещения вдоль оси  $X$ ).

Кроме того, при разбиении контура пластины на конечные элементы была учтена возможность задания сгущения узлов по осям  $X$  и  $Y$  к указанному узлу. В этом случае распределение узлов по осям  $X$  и  $Y$  осуществлялось в соответствии с законом геометрической прогрессии.

По (1) рассчитаны значения напряжений  $\sigma_x, \sigma_y, \tau_{xy}, \tau_{max}$ , возникающих при контакте цилиндра с упругой полуплоскостью. Расчеты проводились при задании разного числа узлов элементов по осям  $X$  и  $Y$  при различных вариантах длин границ пластины и их соотношений расчетной схемы. Основные результаты расчетов максимальных значений напряжений  $\tau_{max}$  представлены в табл. 1 и 2. Результаты расчетов, выполненных по схеме рис. 2, б, приведены в табл. 1, по схеме рис. 2, а – в табл. 2. Коэффициент трения скольжения  $\nu$  в табл. 2 везде равен 0,2. Сетка равномерная.

Таблица 1

Погрешность  $\varepsilon$  расчета напряжений  $\tau_{\max}$ , %, (рис. 2, б)

Число узлов по $X / Y$	$\varepsilon, \%$
Размеры пластины $L = 3*10^{-4}$ м и $h = 3*10^{-4}$ м ( $L/h = 1, L/a = 2$ )	
11*11	14,4
11*21	14,4
11*41	14,0
21*11	13,5
21*21	14,3
21*41	14,8
41*21	14,2
Размеры пластины $L = 3*10^{-4}$ м и $h = 6*10^{-4}$ м ( $L/h = 0,5, L/a = 2$ )	
11*21	10,3
21*41	10,1
Размеры пластины $L = 3*10^{-4}$ м и $h = 12*10^{-4}$ м ( $L/h = 0,25, L/a = 2$ )	
11*81	10,2
Размеры пластины $L = 6*10^{-4}$ м и $h = 3*10^{-4}$ м ( $L/h = 2, L/a = 4$ )	
21*11	19,3
21*21	19,2
Размеры пластины $L = 6*10^{-4}$ м и $h = 6*10^{-4}$ м ( $L/h = 1, L/a = 4$ )	
11*11	25,8
21*21	13,1
21*41	13,1
Размеры пластины $L = 6*10^{-4}$ м и $h = 12*10^{-4}$ м ( $L/h = 0,5, L/a = 4$ )	
21*41	10,8
Размеры пластины $L = 9*10^{-4}$ м и $h = 3*10^{-4}$ м ( $L/h = 3, L/a = 6$ )	
31*11	19,7
Размеры пластины $L = 9*10^{-4}$ м и $h = 9*10^{-4}$ м ( $L/h = 1, L/a = 6$ )	
31*31	10,7
Размеры пластины $L = 12*10^{-4}$ м и $h = 3*10^{-4}$ м ( $L/h = 4, L/a = 8$ )	
41*11	19,8
Размеры пластины $L = 12*10^{-4}$ м и $h = 6*10^{-4}$ м ( $L/h = 2, L/a = 8$ )	
41*21	15,0
Размеры пластины $L = 12*10^{-4}$ м и $h = 12*10^{-4}$ м ( $L/h = 1, L/a = 8$ )	
21*21	22,9
41*41	8,9
Размеры пластины $L = 24*10^{-4}$ м и $h = 24*10^{-4}$ м ( $L/h = 1, L/a = 16$ )	
41*41	20,5

Таблица 2

Погрешность  $\varepsilon$  расчета напряжений  $\tau_{\max}$ , %, (рис. 2, а)

Число узлов по $X / Y$	$\varepsilon$ , %
Размеры пластины $2L = 6 \cdot 10^{-4}$ м и $h = 3 \cdot 10^{-4}$ м ( $2L/h = 2$ , $L/a = 2$ )	
21*11	14,0
41*21	15,2
Размеры пластины $2L = 6 \cdot 10^{-4}$ м и $h = 6 \cdot 10^{-4}$ м ( $2L/h = 1$ , $L/a = 2$ )	
21*21	9,4
Размеры пластины $2L = 6 \cdot 10^{-4}$ м и $h = 12 \cdot 10^{-4}$ м ( $2L/h = 0,5$ , $L/a = 2$ )	
21*41	9,3
Размеры пластины $2L = 6 \cdot 10^{-4}$ м и $h = 24 \cdot 10^{-4}$ м ( $2L/h = 0,25$ , $L/a = 2$ )	
21*81	9,2
Размеры пластины $2L = 12 \cdot 10^{-4}$ м и $h = 6 \cdot 10^{-4}$ м ( $2L/h = 2$ , $L/a = 4$ )	
41*21	12,5
Размеры пластины $2L = 12 \cdot 10^{-4}$ м и $h = 9 \cdot 10^{-4}$ м ( $2L/h = 1,25$ , $L/a = 4$ )	
41*31	10,4
Размеры пластины $2L = 12 \cdot 10^{-4}$ м и $h = 12 \cdot 10^{-4}$ м ( $2L/h = 1$ , $L/a = 4$ )	
41*41	10,1
Размеры пластины $2L = 24 \cdot 10^{-4}$ м и $h = 3 \cdot 10^{-4}$ м ( $2L/h = 6$ , $L/a = 8$ )	
81*11	19,7
Размеры пластины $2L = 24 \cdot 10^{-4}$ м и $h = 6 \cdot 10^{-4}$ м ( $2L/h = 4$ , $L/a = 8$ )	
81*21	14,5

Установлено, что между результатами, полученными МКЭ, и теоретическими результатами, рассчитанными по (1), нет полного соответствия.

Из табл. 1 видно, что с увеличением числа узлов конечных элементов по  $X/Y$  при одних и тех же размерах пластины точность расчета практически не меняется, например, для  $L = 3 \cdot 10^{-4}$  м и  $h = 3 \cdot 10^{-4}$  м ( $L/h = 1$ ) и чисел узлов по  $X/Y$ : 11\*11, 11\*21, 11\*41 – погрешности составляют от 14,4 до 14,0%, для тех же размеров и чисел узлов по  $X/Y$ : 21\*11, 21\*21, 21\*41 – погрешность возрастает от 13,5 до 14,8%; для размеров пластины  $L = 3 \cdot 10^{-4}$  м и  $h = 6 \cdot 10^{-4}$  м ( $L/h = 0,5$ ) и чисел узлов по  $X/Y$ : 11\*21, 21\*41 – погрешности составляют 10,3% и 10,1% соответственно; для размеров пластины  $L = 6 \cdot 10^{-4}$  м и  $h = 3 \cdot 10^{-4}$  м ( $L/h = 2$ ) и чисел узлов по  $X/Y$ : 21\*11, 21\*21 – погрешности составляют 19,3% и 19,2% соответственно; для размеров пластины  $L = 6 \cdot 10^{-4}$  м и  $h = 6 \cdot 10^{-4}$  м ( $L/h = 1$ ) и чисел узлов по  $X/Y$ : 21\*21, 21\*41 – погрешности составляют 13,1% и т.д.

Сравнение результатов расчетов для  $L = 12 \cdot 10^{-4}$  м и  $h = 12 \cdot 10^{-4}$  м ( $L/h = 1$ ) при числах узлов 21\*21 и 41\*41 по  $X/Y$  показывает, что здесь погрешности – соответственно

22,9 и 8,9%. Это объясняется тем, что площадка контакта при числе узлов 21\*21 по  $X/Y$  моделируется малым числом узлов в контакте, явно недостаточным для обеспечения точности расчетов – четыре узла для полуширины площадки контакта, в то время как для остальных вариантов расчетов число узлов для полуширины площадки составляло либо шесть, либо одиннадцать, либо двадцать один узел. Для сравнения рассмотрим вариант с числом узлов в контакте, равным четырем при  $L = 6 \cdot 10^{-4}$  м и  $h = 6 \cdot 10^{-4}$  м ( $L/h = 1$ ) и числе узлов по  $X/Y$  11\*11, здесь погрешность составляет 25,8%, поскольку площадка контакта и здесь моделируется четырьмя узлами для полуширины площадки контакта.

В то же время рассмотрение пластины с размерами  $L = 3 \cdot 10^{-4}$  м и  $h = 3 \cdot 10^{-4}$  м ( $L/h = 1$ ) с числом узлов по  $X/Y$  11\*11 (шесть узлов в контакте) и 21\*21 (одиннадцать узлов в контакте) показывает, что при увеличении числа узлов в два раза значительного увеличения точности расчета не произошло, погрешности соответственно составляют 14,4 и 14,3%. Уменьшение погрешности заметно при рассмотрении вариантов с соотношением сторон  $L/h = 1$  при увеличении длин сторон ( $L = 3 \cdot 10^{-4}$  м и  $h = 3 \cdot 10^{-4}$  м,  $L = 6 \cdot 10^{-4}$  м и  $h = 6 \cdot 10^{-4}$  м,  $L = 9 \cdot 10^{-4}$  м и  $h = 9 \cdot 10^{-4}$  м,  $L = 12 \cdot 10^{-4}$  м и  $h = 12 \cdot 10^{-4}$  м) и числами узлов по  $X/Y$ : 11\*11, 21\*21, 31\*31 и 41\*41 соответственно (число узлов в контакте везде равно шести, шаг узлов по  $X/Y$  везде остается одинаковым), когда погрешности составляют соответственно 14,4; 13,1; 10,7 и 8,9%. С ростом длин сторон и одновременным увеличением числа узлов по  $X/Y$  эта тенденция сохраняется. Очевидно, что здесь на точность расчета влияет фактор абсолютного увеличения длин сторон пластины и, следовательно, снижение влияния условий закрепления на нижней и боковых границах пластины расчетной схемы.

Подобные закономерности прослеживаются также и при исследовании скользящего контакта цилиндра с упругой полуплоскостью в условиях действия нормальных давлений и касательных усилий (табл. 2). Расчет проводился для коэффициента трения скольжения  $\nu = 0,2$ . С увеличением числа узлов конечных элементов по осям  $X/Y$  при одних и тех же размерах пластины точность расчета максимальных значений напряжений  $\tau_{\max}$  изменяется мало. Например, для  $L = 6 \cdot 10^{-4}$  м и  $h = 3 \cdot 10^{-4}$  м ( $L/h = 2$ ) и чисел узлов по  $X/Y$ : 21\*11 и 41\*21 погрешность расчета возрастает с 14,0 до 15,2% соответственно. С ростом длин сторон при сохранении соотношения сторон  $2L/h$  и одновременным пропорциональным увеличением числа узлов по  $X/Y$  существует тенденция уменьшения погрешности расчета напряжений  $\tau_{\max}$ . Например, для соотношения сторон  $L/h = 2$  при увеличении длин сторон ( $L = 6 \cdot 10^{-4}$  м и  $h = 3 \cdot 10^{-4}$  м,  $L = 12 \cdot 10^{-4}$  м и  $h =$

$6 \cdot 10^{-4}$  м) и чисел узлов по  $X/Y$ :  $21 \cdot 11$ ,  $41 \cdot 21$  соответственно (число узлов в контакте равно одиннадцати, шаг узлов по  $X/Y$  одинаковый) погрешности составляют соответственно 14,0 и 12,5%. Здесь на точность расчета влияет фактор абсолютного увеличения длин сторон пластины и, следовательно, снижения влияния условий закрепления на нижней и боковых границах пластины расчетной схемы.

С целью определения влияния длин сторон пластины на точность расчета рассматривался вариант  $L/h = 1$  при увеличивающихся длинах сторон на расчетной схеме, представленной на рис. 2, б. Для экономии вычислительных ресурсов компьютера осуществлялось сгущение узлов при числе узлов по  $X/Y$  равным  $41 \cdot 41$ . Сгущение узлов производилось в одинаковой степени по осям  $X$  и  $Y$  одновременно с увеличением длин сторон пластины таким образом, что число узлов в полуконтакте всегда оставалось равным шести. Результаты этих вычислений показаны на графике рис. 3.

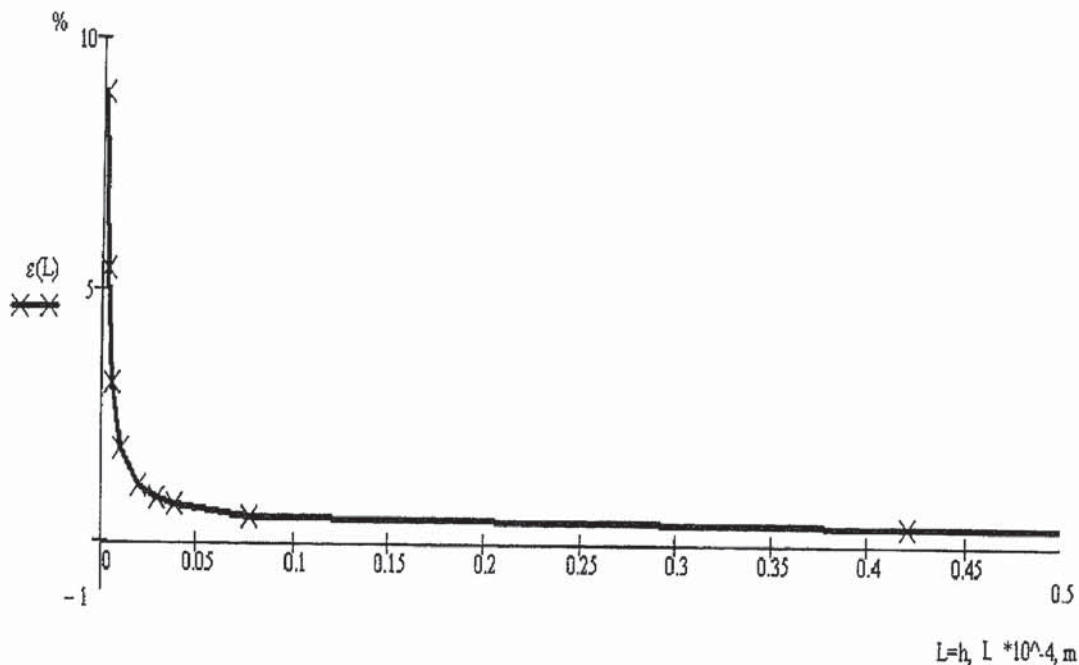


Рис. 3 Зависимость погрешности  $\varepsilon$  расчета напряжений  $\tau_{\max}$  от длины  $L$

По рис. 3 видно, что при достижении определенной длины стороны пластины ( $L/a = 128$ ), погрешность расчета  $\varepsilon$  составляет величину чуть более одного процента. Начиная с соотношения  $L/a = 20$  и более можно говорить о малом влиянии граничных условий расчетной схемы на точность расчета, так как погрешность расчета  $\tau_{\max}$  составляет менее пяти процентов.

В табл. 3 приведены погрешности  $\varepsilon$  расчета  $\tau_{\max}$  МКЭ для размеров пластины  $2L = 72 \cdot 10^{-4}$  м и  $h = 36 \cdot 10^{-4}$  м ( $2L/h = 2$ ,  $L/a = 24$ ) на сетке со сгущением при числе узлов по

$X/Y 61*31$  при изменяющихся коэффициентах трения скольжения  $\nu$ : 0,1, 0,2, 0,3, 0,4, 0,5. Напряжения  $\tau_{\max}$  определялись на: 1) глубине  $y/a = 0,77$  ( $y = 1,144 \cdot 10^{-4}$ ), на которой напряжения  $\tau_{\max}$  достигают максимального из рассчитанных на рассматриваемой сетке значений; 2) поверхности упругой полуплоскости; 3) глубине  $y = 2,491 \cdot 10^{-5}$  под поверхностью. Число узлов в контакте везде равно одиннадцати.

Таблица 3

Погрешность  $\varepsilon$  расчета напряжений  $\tau_{\max}$ , %, (рис. 2, а)

Размеры пластины $2L = 72 \cdot 10^{-4}$ м и $h = 36 \cdot 10^{-4}$ м ( $2L/h = 2$ , $2L/a = 24$ ), число узлов по $X/Y 61*31$			
коэффициент трения $\nu$	Максимальное значение	на поверхности	на глубине $2,491 \cdot 10^{-5}$
0,1	3,4	-17,6	2,5
0,2	3,4	-18,4	1,4
0,3	3,4	-18,6	0,6
0,4	3,4	-18,6	0,2
0,5	3,4	-18,7	-0,1

Погрешности на глубине  $y/a = 0,78$  составляют около 3,4%, что сопоставимо с расчетами на схеме (рис. 2, б) при действии только распределенных нормальных усилий (расчет на сетке с тем же сгущением при числе узлов по  $X/Y 31*31$  дает значение 3,9%). Еще меньше погрешность на глубине  $2,491 \cdot 10^{-5}$ . Большие погрешности на поверхности упругой полуплоскости объясняются тем, что в контакте всего одиннадцать узлов. Тем не менее максимальное значение погрешности на поверхности составляет всего 18,7% (для  $\nu = 0,5$ ) по абсолютному значению.

Таким образом, нами рассмотрено применение МКЭ к исследованию скользящего контакта цилиндра с упругой полуплоскостью в условиях плоской задачи. Процедура решения задачи МКЭ для плоского треугольного элемента при упругом поведении материала реализована в пакете Mathcad. Расчеты производились для различных чисел узлов элементов по осям  $X$  и  $Y$  при различных вариантах длин границ пластины и их соотношений.

На точность решения задачи МКЭ оказывают влияние условия закрепления на границах пластины расчетной схемы. С увеличением числа узлов конечных элементов по осям  $X$  и  $Y$  при одних тех же размерах пластины и полуширины контакта после достижения определенного числа узлов в контакте точность расчета напряжений  $\tau_{\max}$  не

увеличивается. На точность решения МКЭ оказывают влияние степень сгущения сетки конечных элементов.

## СПИСОК ЛИТЕРАТУРЫ

1. Зенкевич О., Метод конечных элементов в технике. – М.: Мир, 1975. – 541 с.
2. Джонсон К., Механика контактного взаимодействия. – М.: Мир, 1989. – 506 с.
3. Галлагер Р., Метод конечных элементов: Основы. – М.: Мир, 1984. – 428 с.

**ВНИМАНИЕ.** В № 12 журнала «Известия вузов. Машиностроение» за 2007 г. по вине авторов допущена опечатка.

В статье [1] формулу определения площади очищенного участка поверхности древесины следует записать в следующем виде:

$$S_n = 2t v_{tp} \sqrt{\frac{2,88 v_0 \rho d_0^2}{\rho_{жк} h t (\omega_{y2, \max}^2 - \omega_{y2}^2)}}$$

где  $\rho_{жк}$  – плотность воды и содержащейся в ней коры древесины,  
 $h$  – толщина коры древесины,  
 $t$  – время обработки древесины струей воды.

[1]. Егошин Е.В. Способ окорки поверхностных пороков древесины вращающимися гидравлическими струями /Е.В.Егошин, А.Я.Полянин/ Известия ВУЗов. Сер. "Машиностроение".- 2008.- № 12.- С. 54-57.